

شناسایی مخزن سامانه زمین‌گرمایی منطقه تکاب با استفاده از روش گرانی‌سنجدی

محمد محمدزاده مقدم^(۱)، جواد نورعلیئی^(۲)، سهیل پرخیال^(۳)، داور ابراهیمی^(۴)، سعید میرزابی^(۵)

۱. دانشجوی دکتری ژئوفیزیک، پژوهشکده علوم پایه کاربردی، ایران

۲. استادیار پژوهشی گروه انرژی‌های نو، پژوهشگاه نیرو، ایران

۳. استادیار، دانشگاه آزاد کرج، ایران

۴. دانشجوی دکتری زمین‌شناسی گروه انرژی‌های نو، پژوهشگاه نیرو، ایران

۵. استاد، پژوهشکده علوم پایه کاربردی، ایران

تاریخ دریافت: ۹۳/۱۱/۱۳

تاریخ پذیرش: ۹۴/۴/۲۳

چکیده

وجود چشممهای آبگرم، رخنمون وسیع رسوبات تراورتنی، محدوده‌های دگرسان شده گرمایی و همچنین تکتونیک فعال در شمال شرق شهر تکاب در استان آذربایجان غربی نشان‌دهنده وجود یک سامانه زمین‌گرمایی مهم در این منطقه می‌باشد. بهمنظور شناسایی مخزن سامانه زمین‌گرمایی و همچنین بررسی ساختارهای زمین‌شناسی مرتبط با سامانه زمین‌گرمایی در منطقه تکاب، عملیات گرانی‌سنجدی در ۱۴۰ ایستگاه در محدوده‌ای به مساحت حدود ۶۰۰ کیلومترمربع انجام شد. پس از اعمال تصحیحات مربوط به داده‌ها شامل تصحیح گرانی نرمال، بوگه، توپوگرافی و هوای آزاد، نقشه‌بی‌هنجری بوگه کامل بهدست آمد. سپس با استفاده از برازش یک سطح منحنی درجه ۳ بر میدان بی‌هنجری بوگه کامل، میدان گرانی ناحیه‌ای محاسبه گردید و نقشه‌بی‌هنجری باقی‌مانده بهدست آمد. نقشه گرانی بی‌هنجری باقی‌مانده نشان‌دهنده وجود دو زون منفی گرانی است (زون A1 و A2). زون‌های منفی به عنوان نواحی احتمالی وجود مخزن در یک ناحیه زمین‌گرمایی مورد توجه هستند. قرارگیری منطقه مورد مطالعه بر روی کمربند آتشفسانی ارومیه-دخترو همچنین حضور گسل‌های از پیش شناخته شده و گسل‌های جدید شناسایی شده توسط نقشه‌های گرادیان افقی و قائم میدان گرانی حاکی از وجود ساز و کار گسلی پیچیده در این منطقه می‌باشد. همچنین با استفاده از روش اویلر، تخمین عمق بی‌هنجری‌ها انجام شد. نتایج این تخمین عمق، نشان می‌دهد که بی‌هنجری A1 که به عنوان مستعدترین ناحیه برای بهره‌برداری از انرژی زمین‌گرمایی شناخته می‌شود، حداقل عمق آن در حدود ۱۰۰۰ تا ۲۰۰۰ متر می‌باشد. در نهایت بهمنظور مدل‌سازی مخزن زمین‌گرمایی واقع در اعماق منطقه، وارون‌سازی سه‌بعدی داده‌ها با استفاده از الگوریتم غیرخطی ای و اولدنبرگ انجام شد. نتایج این مدل‌سازی نشان می‌دهد که فقط زون A1 دارای تباین چگالی منفی قابل توجهی بوده و مخزن زمین‌گرمایی تکاب در این زون و در عمق بین ۳۰۰۰ تا ۵۰۰۰ متری منطقه قرار دارد.

واژه‌های کلیدی: گرانی‌سنجدی، زمین‌گرمایی، تکاب، مشتقات گرانی، وارون‌سازی سه‌بعدی، مخزن.

مقدمه

تکتونیک فعال بهدلیل قرارگیری در زون آتشفسانی ارومیه-دختر، نواحی دگرسان شده و رخنمون وسیع تراوتن، به عنوان یکی از مناطق زمین‌گرمایی مهم ایران بهشمار می‌رود (Nouraliee et al., 2014). شکل ۱ موقعیت منطقه زمین‌گرمایی تکاب را نشان می‌دهد.

مطالعه گرانی‌سنجدی ارائه شده در این تحقیق، در راستای مطالعات پتانسیل‌سنجدی منابع انرژی زمین‌گرمایی کشور در استان آذربایجان غربی صورت گرفته است. در واقع، مطالعات ژئوفیزیکی صورت‌گرفته، نخستین مطالعاتی است که با هدف اکتشاف منابع زمین‌گرمایی در این منطقه اجرا شده است. در این بررسی، تعداد ۱۴۰ ایستگاه گرانی‌سنجدی در محدوده‌ای به وسعت حدود ۶۰۰ کیلومتر مربع در شمال شرق تکاب برداشت شد. پس از برداشت داده‌های گرانی به همراه مختصات آن‌ها، پردازش داده‌ها شامل تصحیحات رانه دستگاه، بوگه، هوای آزاد و توپوگرافی بر روی داده‌ها، اعمال و تفسیر داده‌ها با استفاده از نقشه‌های مختلف میدان گرانی و همچنین برگردان سه‌بعدی داده‌ها با استفاده از کد رایانه‌ای نوشته شده توسط Li and Oldenburg, 1998a) انجام شد. در این پژوهش، اهمیت بسیار زیاد انجام روش گرانی‌سنجدی در شناخت و تحلیل ارتباط بین سیستم‌های زمین‌گرمایی و الگوی شکستگی‌ها و زمین‌شناسی مرتبط با آن آشکار شده است.

روش‌های ژئوفیزیکی پتانسیلی شامل مغناطیس‌سنجدی و گرانی‌سنجدی جزء مقرن به صرفه‌ترین روش‌های ژئوفیزیکی بهمنظور بهدست آوردن یک مدل اولیه و مناسب از ویژگی‌های ساختاری در یک منطقه زمین‌گرمایی بهشمار می‌روند. استفاده از روش گرانی‌سنجدی بهمنظور اکتشاف منابع انرژی زمین‌گرمایی در نقاط مختلف دنیا نتایج سودمندی را ارائه نموده است؛ به عنوان مثال، بررسی توپوگرافی سنگ بستر در یک میدان زمین‌گرمایی (Salem et al., 2005; Soengkono, 2011) (Represas et al., 2013) نفوذی و مآگمایی مربوط به منشأ حرارت سامانه زمین‌گرمایی (Montesinos et al., 2003; Salem et al., 2005; Schiavone and Loddo, 2007; Abiye and Haile, 2008; Gottsmann et al., 2008; Represas et al., 2013; Nouraliee et al., 2015)

از سال ۱۳۷۷ تاکنون، مطالعات سراسری پتانسیل‌سنجدی منابع انرژی زمین‌گرمایی در ایران توسط سازمان انرژی‌های نو ایران (سانا) انجام شده که در نتیجه آن چندین منطقه زمین‌گرمایی در کشور شناسایی شده است. یکی از این مناطق امیدبخش، منطقه زمین‌گرمایی تکاب است که به علت وجود چشممه‌های آبگرم متعدد،

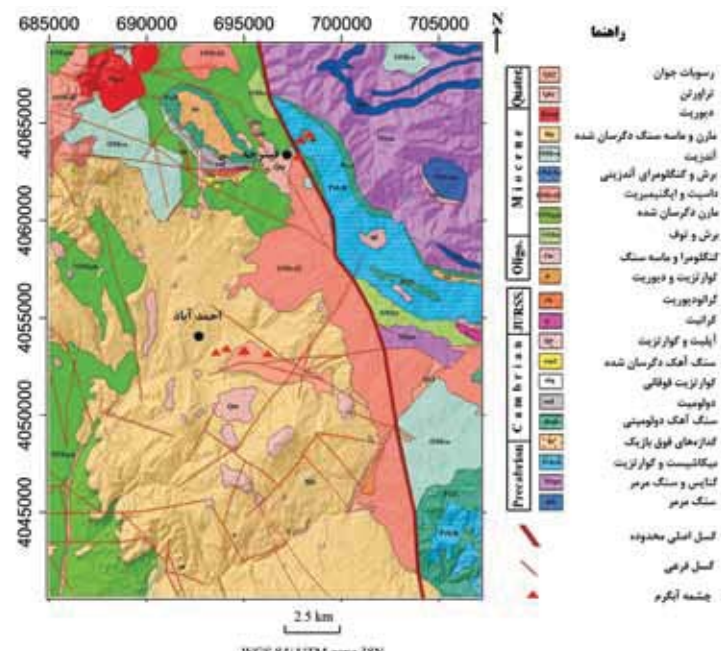


شکل ۱. موقعیت منطقه مورد بررسی (مستطیل سبز رنگ) (اقتباس از نقشه راه‌های ایران).

سنگ‌ها در چندین کیلومتری چشمه‌های آبگرم نشان‌دهنده قدمت بالای سامانه زمین‌گرمایی تکاب می‌باشد. از نظر ساختمانی، منطقه مورد بررسی در زون خوبی-مهاباد و محل برخورد زون‌های سنتدج سیرجان، البرز-آذربایجان و ایران مرکزی قرار می‌گیرد. قرار گرفتن سنگ‌های دگرگونی پرکامبرین و پالئوزوئیک در زیر رسوبات و سنگ‌های آتشنشانی الیگومیوسن نشان‌دهنده وجود یک برجستگی قدیمی از زمان پرکامبرین و پالئوزوئیک زیرین تا الیگوسن و نبود رسوبگذاری یا وجود شرایط فرسایش شدید در فاصله زمانی مذکور در منطقه می‌باشد. این برجستگی به صورت یک فرازمین با راستای شمال باختری-جنوب خاوری از جنوب تا شمال منطقه کشیده شده است و مرز باختری آن توسط گسل اصلی منطقه با حوضه فرورفته شیرمرد محدود شده است (شکل ۲). در واقع گسل اصلی منطقه، سنگ‌های دگرگونی در شرق را از حوضه شیرمرد در غرب جدا می‌کند. این گسل از نوع عمیق و پی‌سنگی با شبکه حدود ۴۰ تا ۵۰ درجه به سمت شمال شرق با جابجاشدگی معکوس راستگرد می‌باشد که سبب بالاگذگی سنگ‌های دگرگونی در شرق و فرو افتادن سنگ‌های غربی و تشکیل حوضه شیر مرد گردیده است (نبوی، ۱۳۵۵).

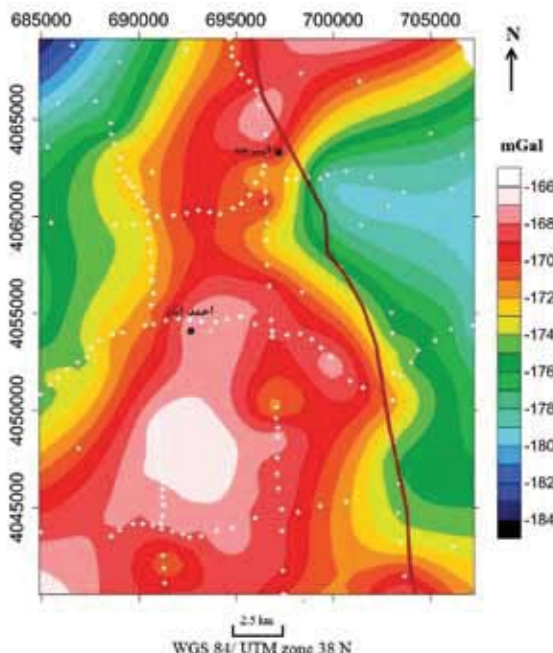
زمین‌شناسی منطقه مورد بررسی

منطقه اکتشافی مورد نظر، در شمال شرق شهر تکاب در استان آذربایجان غربی واقع شده است (شکل ۱). منطقه تکاب، بیشتر از سنگ‌های دگرگونی شیست، مرمر و گنایس تشکیل شده است که با روند شمال باختری-جنوب خاوری در بخش‌های مختلفی از منطقه، به خصوص در امتداد گسل اصلی قرار گرفته‌اند. شکل ۲ نقشه زمین‌شناسی منطقه مورد مطالعه را نشان می‌دهد. همان طورکه در شکل مشاهده می‌شود چشمه‌های آبگرم منطقه در دو محدوده مجزا یکی در حوالی شرقی روستای قیرچه و دیگری در جنوب شرق روستای احمدآباد به وجود آمده‌اند. مطالعات ژئوشیمیایی و ژئوتومتری چشمه‌های آبگرم که توسط Nouraliee et al. (2014) انجام شده، نشان می‌دهد که دمای مخزن حدود ۵۷ تا ۹۰ درجه سانتیگراد می‌باشد. وجود یون منیزیم محلول در آب چشمه‌ها نشان‌دهنده آمیختگی سیال زمین‌گرمایی با آب‌های سرد زیرزمینی است؛ بنابراین به نظر می‌رسد که دمای مخزن زمین‌گرمایی موجود در اعماق منطقه، حرارت بسیار بالاتری دارد. رخنمون وسیع رسوبات تراورتنی با ضخامت قابل توجه در اطراف چشمه‌ها و همچنین پراکندگی این



شکل ۲. نقشه زمین‌شناسی منطقه زمین‌گرمایی تکاب (برگرفته از نقشه زمین‌شناسی ۱:۱۰۰۰۰۰ تخت سلیمان، سازمان زمین‌شناسی و اکتشافات معدنی کشور)

غرب محدوده دیده می‌شود که به علت دور شدن از شواهد زمین‌گرمایی منطقه بخصوص چشمه‌های آبگرم، در این پژوهش از اهمیت کمی برخوردار است. این ناحیه از سنگ‌های داسیت، ایگنتمبریت و مارن تشکیل شده است. ناحیه دارای بی‌هنجری منفی دیگری در حاشیه شرقی نقشه شکل ۳ دیده می‌شود که در جنوب شرق گسل اصلی منطقه روستای قیزجۀ و به طور آشکار در شرق گسل اصلی منطقه واقع شده است. این ناحیه با بی‌هنجری گرانی منفی بر سنگ‌های دگرگونی منطقه منطبق است. به طور کلی به نظر می‌رسد که سنگ‌های پرچگال در شمال و بخصوص در جنوب و مرکز منطقه مورد بررسی سبب ایجاد یک روند منفی گرانی به‌سمت حواشی غربی و شرقی منطقه شده‌اند.



شکل ۳. نقشه بی‌هنجری بوگه کامل. موقعیت ایستگاه‌های برداشت داده با علامت مثبت سفید رنگ و گسل اصلی منطقه با خط قهوه‌ای پر رنگ بر روی نقشه نشان داده شده است.

جدایش بی‌هنجری‌های گرانی ناحیه‌ای و محلی

بی‌هنجری بوگه کامل، شامل بی‌هنجری‌های ناحیه‌ای و محلی است. بی‌هنجری ناحیه‌ای در نتیجه وجود ساختارهای بزرگ‌تر و عمیق‌تر و بی‌هنجری محلی در نتیجه وجود ساختارهای کوچک‌تر و کم‌عمق‌تر است. در

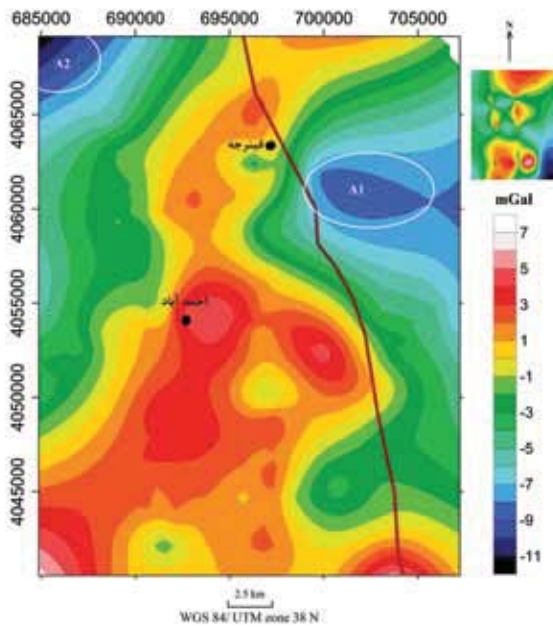
گرانی‌سننجی

داده‌های گرانی‌سننجی

اندازه‌گیری‌های نسبی میدان گرانش زمین در محدوده اطراف چشمه‌های آبگرم روستاهای قیزجۀ و احمدآباد با فواصل ایستگاهی ۵/۰ تا ۲ کیلومتر و با توجه به وضعیت توپوگرافی منطقه و امکان دسترسی به نقاط ایستگاهی تعیین شده، انجام شد. در مجموع ۱۴۰ ایستگاه گرانی در محدوده‌ای به وسعت حدود ۶۰۰ کیلومترمربع برداشت شد. این عملیات در بهار سال ۱۳۹۲ توسط ستاد توسعه فناوری انرژی‌های تجدیدپذیر در منطقه مورد بررسی انجام شد. اندازه‌گیری‌های نسبی میدان گرانش زمین در این منطقه با استفاده از دستگاه گرانی‌سننج CG5 ساخت شرکت سینترکس کانادا انجام گردید. دقیق این دستگاه در حد ۵ میکروگال است. به‌منظور تبدیل داده‌های گرانی نسبی به داده‌های گرانی مطلق از ایستگاه مبنای گرانی واقع در منطقه تکاب (سازمان نقشه‌برداری کشور) استفاده شد. اندازه‌گیری‌های ارتفاعی و مسطحاتی نقاط گرانی برداشت شده، توسط دستگاه GPS دو فرکانسه لایکا انجام و مقادیر ارتفاعی با استفاده از نقشه‌های توپوگرافی منطقه مقایسه و تأیید شد. با توجه به وسعت زیاد محدوده مورد مطالعه تصحیح گرانی نرمال به‌منظور حذف اثر تفاوت مقادیر گرانی نرمال زمین، انجام شد. تصحیح هوای آزاد با استفاده از فرمول انجمن بین‌المللی ژئودزی در سال ۱۹۶۷ و تصحیح بوگه با استفاده از مقدار چگالی میانگین پوسته (۲/۶۷ g/cm^3) بر روی داده‌های گرانی برداشت شده انجام شد (Blakely, 1996). تصحیح توپوگرافی نیز به روش هامرا با استفاده از نقشه‌های توپوگرافی منطقه، محاسبه و انجام گردید.

شکل ۳ نقشه بی‌هنجری گرانی بوگه کامل در منطقه مورد بررسی نشان می‌دهد. علامت‌های مثبت سفید رنگ بر روی این نقشه موقعیت ایستگاه‌های برداشت داده می‌باشند. همان‌طور که در این نقشه مشاهده می‌شود، دامنه تغییرات شدت میدان گرانش در این محدوده حداقل به ۲۰ میلی‌گال می‌رسد که با توجه به نقشه زمین‌شناسی منطقه (شکل ۲) مقدار بیشینه آن بر موقعیت سنگ‌های مارن و ماسه‌سنگی دگرسان شده در جنوب و مرکز محدوده منطبق است. مقدار کمینه میدان گرانش در گوشش شمال

مارن واقع شده است. نبود دگرسانی‌های گرمایی، دوری از چشمه‌های آبگرم و نبود رخنمون رسوبات تراوerten در این زون، این ناحیه را از نظر وجود مخزن زمین‌گرمایی از اهمیت کمتری برخوردار می‌سازد.



شکل ۴. نقشه بی‌هنجری گرانی محلی منطقه زمین‌گرمایی تکاب. نقشه میدان بی‌هنجری ناحیه‌ای در گوشش بالا سمت راست شکل نشان داده شده است؛ با کسر کردن این میدان از میدان بوگه کامل، میدان بی‌هنجری محلی به دست می‌آید. زون‌های A1 و A2، بی‌هنجری‌های گرانی منفی می‌باشند که به عنوان مخازن احتمالی سامانه زمین‌گرمایی در منطقه تکاب مورد توجه هستند.

مشتقات جهتی میدان گرانی

استفاده از روش مشتقات گرانی در برآورد مرز ساختارهای زمین‌شناسی (گسل، دایک و مانند آن) از روی بی‌هنجری‌های میدان گرانی بسیار سودمند است. در این روش، از تغییرات یک کمیت در سرتاسر یک نقشه و به خصوص در نواحی منشاء بی‌هنجری استفاده می‌شود (Nabighian, 1972; Blakely and Simpson, 1986). در این زمینه مناسب‌ترین کمیت، محاسبه مشتقات داده‌های میدان گرانی شامل مشتق افقی و قائم است. با محاسبه مشتقات افقی داده‌ها، بیشینه و کمینه مقدار آن‌ها در بالای لبه‌های توده‌های مولد بی‌هنجری قرار می‌گیرد و بدین صورت تباینی بین توده و دیگر قسمت‌های نقشه ایجاد می‌شود. مشتق افقی درجه اول میدان گرانی در یک جهت خاص،

این پژوهش، به‌منظور بارزتر کردن بی‌هنجری‌های مرتبط با منشاء موردنظر، جدایش بی‌هنجری‌های ناحیه‌ای- محلی از بی‌هنجری بوگه انجام شد. در صورتی که جدایش و یا حذف اثر میدان ناحیه‌ای از داده‌های گرانی مشاهده شده به درستی صورت گیرد، بی‌هنجری مربوط به هدف مورد بررسی به‌طور مطلوب محاسبه خواهد شد. روش‌های متعددی برای انجام (Li and Oldenburg, 1998b) این جدایش وجود دارد که برخی عمدتاً براساس محاسبات عددی و برخی براساس شواهد تجربی و مقایسه نیم‌رخ داده‌ها قابل دستیابی هستند (Telford et al., 1990). در منطقه موردنظری، یک روند میدان گرانی ناحیه‌ای از سمت شرق و غرب به‌طرف محور شمالی-جنوبی منطقه وجود دارد. به‌منظور جدایش بی‌هنجری محلی و منطقه‌ای از داده‌های گرانی منطقه تکاب، چندین روش گوناگون از جمله برآش چند جمله‌ای درجه یک و بالاتر و روش ادامه فراسو جهت محاسبه میدان ناحیه‌ای به کار گرفته شد؛ اما نتایج برخی از آن‌ها به‌گونه‌ای سبب تضعیف و یا تقویت برخی بی‌هنجری‌ها می‌شد که براساس تجربه مفسر قابل قبول نبود. در نهایت از روش برآش یک سطح منحنی چند جمله‌ای درجه سوم به داده‌های گرانی مشاهده شده استفاده شد؛ به طوری که در این روش روند منطقه‌ای محاسبه شده سبب از بین رفت و یا بهم ریختگی بی‌هنجری‌های محلی نمی‌شد. سپس با کم کردن میدان گرانی ناحیه‌ای از میدان گرانی بوگه کامل، میدان بی‌هنجری محلی محاسبه شد (شکل ۴).

دو ناحیه با بی‌هنجری گرانی منفی (A1 و A2) در نقشه میدان گرانی باقیمانده در شکل ۴ مشخص شده است که زون A1 در امتداد گسل اصلی منطقه و در جنوب شرقی چشمه‌های آبگرم قیبرز و زون A2 در گوشه سمت راست شمال محدوده واقع شده است. بیشترین دگرسانی‌های ناشی از فعالیت‌های گرمایی در زون A1 قرار گرفته است، به‌همین دلیل به‌نظر می‌رسد زون‌های خردشده ناشی از فعالیت گسل اصلی و افزایش نفوذپذیری و متعاقب آن تشکیل مخزن زمین‌گرمایی منطقه، موجب پیدایش این بی‌هنجری‌های منفی گرانی شده است. زون A2 نیز در ناحیه‌ای با رخنمون سنگ‌های آذرین داسیت و ایگنومبریت و همچنین

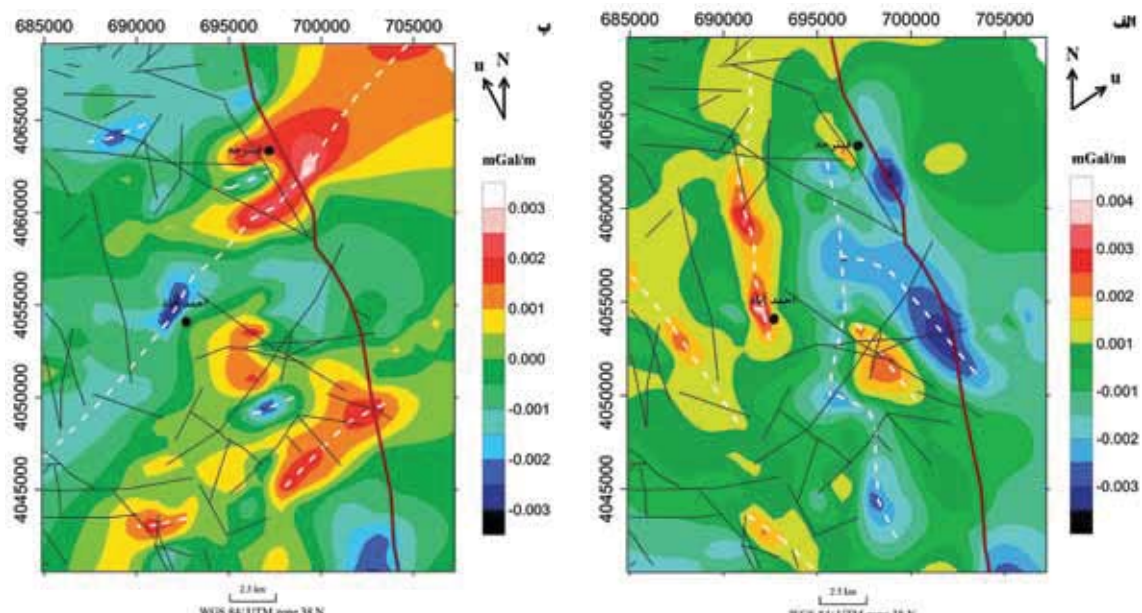
مقدار مشتق افقی در جهت N60E، بر روی گسل اصلی منطقه به کمینه خود می‌رسد و در واقع گسل اصلی منطقه با استفاده از نقشه مشتق افقی به خوبی قابل شناسایی است. در بخش غربی این گسل، چندین گسل مهم احتمالی با توجه به مقادیر کمینه یا بیشینه مشتق، شناسایی و موقعیت آن‌ها بر روی نقشه با خطوط سفیدرنگ بریده- بریده مشخص شده است. به نظر نمی‌رسد که این گسل‌ها با استفاده از نقشه‌های زمین‌شناسی قابل شناسایی باشند اما تغییرات زیاد آن‌ها در نقشه مشتق افقی نشان‌دهنده حضور آن‌ها در اعماق بیشتر به علت پوشیده شدن آن‌ها توسط رسوبات جوان‌ترو یا وجود پوشش گیاهی می‌باشد.

در شکل ۵-ب نیز چند گسل پنهان در منطقه قابل شناسایی است به طوری که یکی از آن‌ها با طول بسیار زیاد از جنوب قیصرجه و همچنین شمال احمدآباد عبور می‌کند. وجود این گسل پنهان در نقشه مشتق افقی در جهت N30W، می‌تواند توجیه کننده ارتباط بین چشمه‌های آبرگم قیصرجه و احمدآباد باشد. به عبارتی دیگر حضور این گسل مهم نشان می‌دهد که احتمالاً مخزن زمین‌گرمایی هر دو گروه از چشمه‌های آبرگم قیصرجه و احمدآباد یکسان است و این گسل نقش مهمی را در چرخش آب و سیالات هیدرولیک در منطقه ایفا می‌نماید.

سبب تقویت تغییرات جانبی در میدان گرانی و تضعیف روند منطقه‌ای در آن جهت می‌شود. در نواحی که تباين چگالی بیشتر است، مقدار مشتق به بیشینه یا کمینه خود می‌رسد؛ بنابراین بیهنجاری عمود بر جهت مشتق، بارزتر شده و لبه ساختارها آشکارتر می‌شود. با توجه به این که گسل اصلی منطقه زمین‌گرمایی تکاب دارای روند شمال‌غرب-جنوب‌شرق است، دو نقشه مشتق جهتی افقی درجه اول محاسبه گردید؛ یکی در امتداد عمود بر روند گسل اصلی منطقه (شکل ۵-الف) به منظور مشخص کردن ساختارهای با روند تقریبی هم‌جهت با گسل اصلی و دیگری در امتداد گسل اصلی منطقه (شکل ۵-ب) به منظور مشخص کردن ساختارهای عمود بر این گسل.

نقشه‌های مشتق نشان داده شده در شکل ۵ به طور واضح اهمیت خطواره‌ها و گسل‌های اصلی در کنترل مخزن زمین‌گرمایی و تکامل چرخه سیالات هیدرولیک منطقه را نشان می‌دهد. در این شکل خطوط سیارمنگ گسل‌های شناخته شده در نقشه زمین‌شناسی می‌باشد که بر روی این نقشه‌ها ترسیم شده و خطوط بریده- بریده سفیدرنگ خطواره‌های شناسایی شده با استفاده از نقشه‌های مشتق افقی میدان گرانی است.

همان‌طورکه در نقشه شکل ۵-الف مشاهده می‌شود،



شکل ۵. الف) مشتقات جهتی افقی میدان گرانی بوگه در جهت N60E، ب) N30W. خطوط سیارمنگ بر روی نقشه گسل‌های از پیش شناخته شده و خطوط بریده- بریده سفیدرنگ گسل‌های شناسایی شده با استفاده از این نقشه‌ها را نشان می‌دهند.

تخمین عمق اویلر

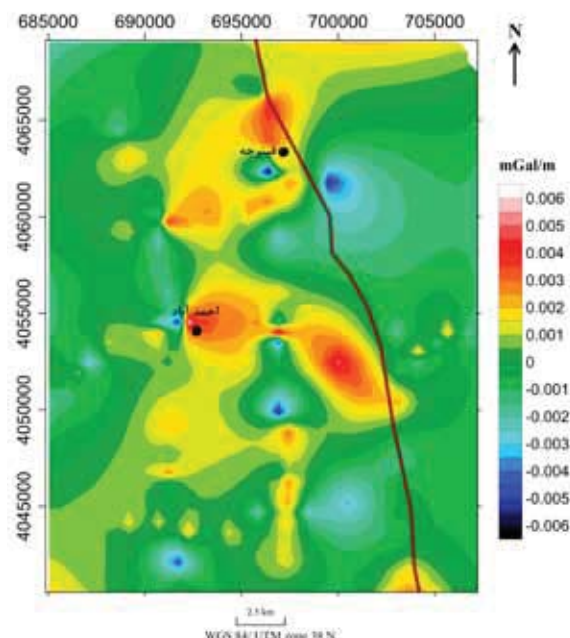
به منظور شناسایی دقیق‌تر موقعیت ساختارهای زمین‌شناسی منطقه زمین‌گرمایی تکاب، روش واهمامیخت اویلر بر روی کل داده‌های گرانی منطقه اعمال گردید. روش اویلر قادر است به صورت خودکار عمق و مکان افقی منشاء بی‌هنجری‌ها را برآورد نماید. در این روش از میدان گرانی با قیمانده و گرادیان‌های افقی و قائم آن جهت برآورد مکان منشاء بی‌هنجری استفاده می‌شود (Thompson, 1982). در شرایط مختلف زمین‌شناسی از نظر شکل و نوع منشاء بی‌هنجری از معیاری به نام شاخص ساختاری^۱ استفاده می‌شود. این شاخص مهم معیاری از نحوه و شدت دورافت^۲ میدان با فاصله گرفتن از منشاء بی‌هنجری است. در گرانی‌سنگی مقدار این شاخص ساختاری از صفر (سیل، دایک و یا ساختار پلکانی) تا ۲ (کره) تغییر می‌کند. در روش اویلر، برآورد مقدار صحیح از شاخص ساختاری، گام بسیار مهم در به دست آوردن نتایجی معتبر می‌باشد (Reid, 1995). برآورد مقدار صحیح شاخص ساختاری به سه صورت امکان‌پذیر است. براساس تجربه مفسر، آزمون و خطای و انتخاب یک شاخص ساختاری بهترین خوشبندی را در جواب‌ها ارائه می‌دهد (Keating and Pilkington, 2004).

منظور از بهترین خوشبندی این است که پاسخ‌های نشان‌دهنده عمق یکسان، مجاور هم باشند و حل‌های عمیقی متفاوت، تداخل زیادی با هم نداشته باشند.

در این پژوهش، به منظور اعمال روش اویلر بر روی داده‌های منطقه مورد بررسی از نرم افزار ژئوسافت^۳ استفاده شد. پس از آماده‌سازی نقشه میدان با قیمانده، نقشه‌های مشتقات میدان گرانی در سه جهت (x, y, z)^۴ که تهیه آن لازمه اجرای فرایند واهمامیخت اویلر است، تهیه شدند. از آنجاکه دید مناسبی از اعماق زمین منطقه مورد بررسی نداریم، برای رسیدن به شاخص ساختاری مناسب، اعداد مختلف مورد آزمون و خطای قرار گرفت. به طوری که چندین بار روش اویلر اعمال شد و هر بار اعداد مختلفی از شاخص

استفاده از فیلتر مشتق قائم یکی دیگر از روش‌های برآورد مرزی‌هنجری‌های کم عمق و بارزتر کردن آن‌ها است. مشتق قائم عرض بی‌هنجری‌ها را باریک‌تر و موقعیت آن‌ها را بدقت بیشتری مشخص می‌کند (Cooper and Cowan, 2004). در این روش بی‌هنجری‌های با طول موج کوتاه‌تر مربوط به ساختارهای کم عمق‌تر، بارزتر و بی‌هنجری‌های با طول موج بلند‌تر تضعیف می‌شوند (Nabighian, 1984). اگرچه تفسیر کیفی نقشه‌های مشتق قائم نسبت به نقشه‌های مشتق افقی مشکل‌تر به نظر می‌رسد اما استفاده از مشتق قائم در بارزتر کردن بی‌هنجری‌های میدان‌های پتانسیلی بسیار سودمند است و به مفسر امکان شناسایی دقیق‌تر موقعیت افقی مراکز توده‌های بی‌هنجری را می‌دهد (Saad, 2006).

شکل ۶ نقشه مشتق قائم درجه اول از میدان گرانی بوگه منطقه مورد بررسی را نشان می‌دهد. همان‌طور که مشاهده می‌شود، شدت تغییرات مشتق قائم میدان نسبت به نقشه‌ای مشتقات افقی کمتر است و نقشه نزدیک به نظر می‌رسد. با توجه به این شکل، شدت تغییرات در محل چشممه‌های آبگرم قیزرجه و احمدآباد نسبت به قسمت‌های دیگر منطقه بیشتر است که این امر نشان‌دهنده تغییرات زیاد چگالی سنگ‌ها در اعماق کم به علت فعالیت چشممه‌های آبگرم در این دو ناحیه می‌باشد.



شکل ۶. نقشه مشتق قائم اول میدان گرانی بوگه.

1. Euler deconvolution

2. Structural index

3. Fall-off

4. Geosoft

وارون‌سازی داده‌های گرانی

مدل سه‌بعدی تباین چگالی مواد و سنگ‌ها در منطقه مورد بررسی با استفاده از الگوریتم (Li and Oldenburg, 1998a) در قالب نرم افزار UBC-GIF Grav3D انجام شد. استفاده از این الگوریتم جهت انجام مدل‌سازی سه‌بعدی داده‌های گرانی در مناطق مختلف دنیا نتایج بسیار ارزشمندی را ارائه می‌کند (به عنوان نمونه؛ Oldenburg and Pratt, 2007; Louro and Mantovani, 2013; Kalateh and Kahoo, 2015; Nouraliee et al., 2013). در رویکرد برگردان عرضه شده از سوی لی و اولدنبورگ که در این تحقیق مورد استفاده قرار گرفته است، ابتدا در مورد متغیری که تفسیر براساس آن صورت خواهد گرفت، تصمیم‌گیری می‌شود که تابعی از چگالی مورد جستجو می‌باشد. سپس یک تابع هدف چند مؤلفه‌ای که دارای انعطاف‌پذیری کافی برای تولید انواع مدل باشد ساخته می‌شود. شکل این تابع هدف به‌گونه‌ای است که می‌تواند برای جنبه‌های ناخواسته ریاضی قابل قبول از قبیل تمرکز چگالی در نزدیکی سطح، ساختار سیار بزرگ و یا وجود چگالی‌های متفاوت تصحیح شود. این تابع هدف، ناهمواری‌ها را در سه جهت فضایی جبران می‌کند و یک وزن دهنی سه‌بعدی براساس توزیع چگالی با عمق دارد. تابع‌های کمکی وزن دهنی سه‌بعدی در تابع هدف را می‌توان در ترکیب کردن اطلاعات بیشتر درباره مدل به کار برد. چنین اطلاعاتی ممکن است از کاوش‌های دیگر رئوفیزیکی، داده‌های زمین‌شناسی و ارتباط آن با چگالی سنگ‌ها باشد. راه حل عددی برای برگردان از راه تقسیم زمین به تعداد زیادی سلول، تحقق یافته است تا اجسام زمین‌شناسی پیچیده به طور نسبی ساخته شوند.

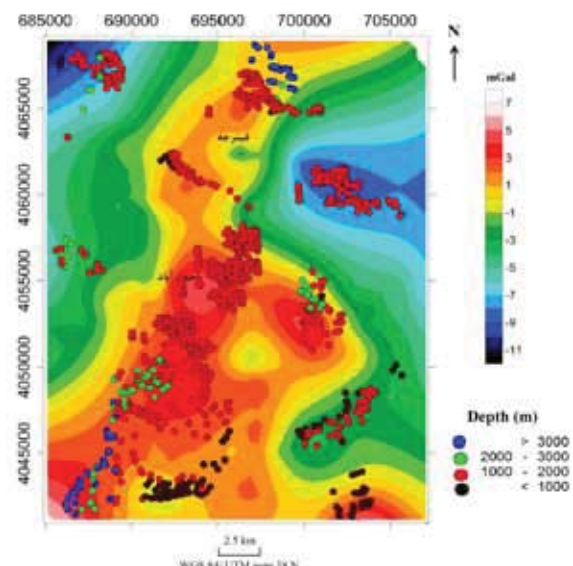
الگوریتم عرضه شده از سوی لی و اولدنبورگ از رابطه ۱ آغاز می‌شود:

$$d=G\rho \quad (1)$$

در این رابطه d مربوط به داده‌های واقعی، G ماتریس حساسیت و ρ چگالی سنگ‌ها در یک بلوک متعامد و شبکه‌بندی شده به منظور انجام مدل‌سازی است. مسئله برگردان به منزله یک مسئله بهینه‌سازی، فرمول بندی

ساختاری انتخاب می‌شود؛ از عدد ۵/۰ کار آغاز و با گام ۱/۰ تا عدد ۲ ادامه داده شد. با توجه به مطالب مذکور بهترین شاخص ساختاری که برای بی‌هنجری‌های موجود در منطقه برآورده شد، دامنه عددی بین ۱/۶ تا ۱/۴ است که به طور میانگین شاخص ساختاری ۱/۵ را در نظر گرفته شده است. شکل ۷ نتایج حل اویلر با استفاده از نقشه گرانی محلی و با انتخاب شاخص ساختاری ۱/۵ را نمایش می‌دهد. برآوردهای عمقی در نقاط مختلف شبکه با دوایر رنگی توپر مشخص شده‌اند. با توجه به این شکل به نظر می‌رسد عمق بیشتر بی‌هنجری‌های گرانی در منطقه در حدود ۱۰۰۰ تا ۲۰۰۰ متر قرار دارد (دوایر قرمز رنگ)، اما بی‌هنجری با عمق‌های کمتر (دوایر سیاه رنگ) و با عمق‌های بیشتر (دوایر سیز و آبی رنگ) در نواحی مختلف منطقه دیده می‌شوند. با توجه به نمایش حل‌های اویلر در شکل ۷، روش اویلر بر روی بی‌هنجری گرانی منفی (زون A1 و A2)، اعمق به نسبت مشابهی را نشان می‌دهد، به طوری که عمق سقف این بی‌هنجری‌ها در این دو زون تقریباً یکسان و در حدود ۱۰۰۰ تا ۲۰۰۰ متر برآورده شود.

نتایج به دست آمده از اعمال روش اویلر می‌تواند به عنوان پارامترهای اولیه و اساسی در روش وارون‌سازی داده‌های منطقه مورد بررسی به کار رود.



شکل ۷. نمایش حل‌های اویلر در منطقه مورد بررسی. دوایر رنگی نشان‌دهنده عمق برآورده شده برای منشاء بی‌هنجری گرانی و مرکز این دوایر موقعیت افقی منشاء را نشان می‌دهد.

شده توسط (1990) Telford et al. و همچنین با توجه به مطالعات صورت گرفته در نواحی مشابه (به عنوان نمونه، Represas et al., 2013; Nouraliee et al., 2015 تباین چگالی کمتر از ۱۵۰- کیلوگرم بر مترمکعب را به عنوان نواحی مسعد مخزن زمین گرمایی در نظر گرفته و بنا بر این به منظور نمایش مناسبتر این نواحی، سنگ‌های با تباین چگالی کمتر از ۱۵۰- کیلوگرم بر مترمکعب در شکل ۸ نمایش داده شد. در این شکل، نتایج مدل‌سازی سه‌بعدی با استفاده از الگوریتم لی و اولدنبرگ از سه نمای جنوب شرق (الف)، جنوب (ب) و شرق (ج) نمایش داده شده است. در این وارون‌سازی حداقل عمق مدل‌سازی ۸۰۰۰ متر می‌باشد. همان‌طور که مشاهده می‌شود، در این حالت فقط زون A1 از اعماق حدود ۱۸۰۰ تا ۵۰۰۰ متر از وضعیت مناسب‌تری نسبت به نواحی دیگر برخوردار است. البته همان‌طور که مشاهده می‌شود، ضخامت این زون از عمق حدود ۳۰۰۰ تا ۵۰۰۰ متر افزایش می‌یابد و احتمالاً کیفیت سنگ مخزن نیز در این گستره عمقی بیشتر می‌شود. مختصات افقی این زون عبارتست از $X_1 = 702000$ تا $X_2 = 699200$ و $Y_1 = 4059000$ تا $Y_2 = 4062200$ (UTM Zone 38N). با توجه به این نتایج به نظر می‌رسد، گسل اصلی منطقه سبب ایجاد تباین چگالی منفی در بخش‌هایی از سنگ‌های منطقه شده است و همان‌طور که براساس نقشه‌های مختلف میدان گرانی انتظار می‌رود، زون A1 که در مجاورت این گسل قرار دارد، در نتایج وارون‌سازی سه‌بعدی (شکل ۸) نیز نشان‌دهنده محدوده با تباین چگالی منفی قابل توجهی است. در واقع فعالیت گسل اصلی منطقه و شاخه‌های فرعی آن سبب ایجاد شکستگی‌ها و درزهای زیادی در سنگ‌های این ناحیه شده و فضای مناسبی را برای چرخش سیالات به وجود آورده و در نتیجه سبب ایجاد یک مخزن زمین گرمایی شده است. شواهد زمین گرمایی در این ناحیه (زون A1) شامل وجود چشم‌های آبرگم و دگرسانی‌های شدید ناشی از سیالات گرمایی این نتایج را تایید می‌کنند (Nouraliee et al., 2014).

می‌شود که یکتابع هدف از مدل، با توجه به محدودیت‌های معادله کمینه می‌شود تا داده‌ها، با یک خطای قابل قبول باز تولید شود. فرض کنید تابع هدف به صورت رابطه (۲) باشد:

$$\begin{aligned} \mathcal{O}_m &= \alpha \int_v w_s w_2 (z)(\rho - \rho_0)^2 dv \\ &+ \alpha_x \int_v w_x \{[\partial w(z)/\partial x](\rho - \rho_0)\}^2 dv \\ &+ \alpha_y \int_v w_y \{[\partial w(z)/\partial y](\rho - \rho_0)\}^2 dv \\ &+ \alpha_z \int_v w_z \{[\partial w(z)/\partial z](\rho - \rho_0)\}^2 dv \end{aligned} \quad (2) \text{ رابطه}$$

که در آن ρ مربوط به داده‌های واقعی، ρ_0 مربوط به داده‌های مدل و w_s ، w_x ، w_y و w_z تابع وزنی هستند. w_z تابع وزن‌دهی عمقی است. مقدار عدم برازش بین داده‌های مشاهده شده و داده‌های محاسبه شده با استفاده از رابطه (۳) به دست می‌آید:

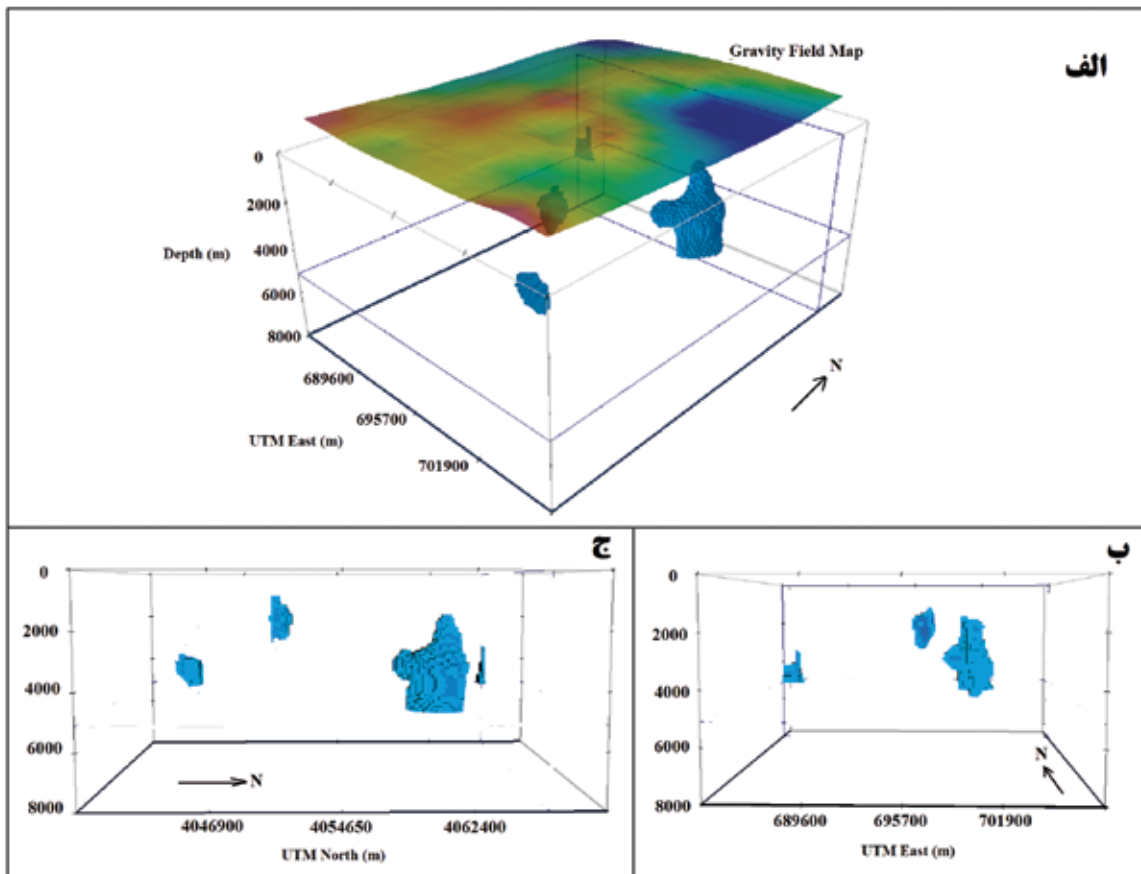
$$\mathcal{O}_d = \|W_d (d_{mod} - d_{obs})\|^2 \quad (3) \text{ رابطه}$$

که در آن W_d به عنوان یک ماتریس قطری است که عنصر iام آن، انحراف استاندارد امین داده، d_{mod} چگالی محاسبه شده و d_{obs} چگالی برداشت شده است. هدف از این معادله وارون (رابطه ۳)، کمینه کردن اختلاف بین تابع هدف و خطای برازش داده‌ها است (رابطه ۴):

$$\mathcal{O} = \mathcal{O}_d + \mu \mathcal{O}_m \quad (4) \text{ رابطه}$$

که در آن μ پارامتر تنظیم‌کننده است. جزئیات و توصیف‌های بیشتر در مقاله (Li and Oldenburg, 1998a) موجود است.

همان‌طور که بیان شد، زون‌های با بی‌هنجری گرانی منفی به عنوان نواحی احتمالی مخزن سامانه زمین گرمایی مورد توجه هستند. در منطقه زمین گرمایی تکاب، با توجه به نقشه بی‌هنجری گرانی باقیمانده در شکل ۴ دو زون منفی (A1 و A2) شناسایی شد. افزایش درز و شکاف، گسل خورده‌گی و حضور سیالات هیدروترمال در یک مخزن زمین گرمایی از عوامل اصلی ایجاد این تباین چگالی منفی می‌باشد. میزان این تباین چگالی به جنس سنگ‌های مخزن و سنگ‌های اطراف و همچنین کیفیت مخزن بستگی دارد. با توجه به جدول چگالی سنگ‌ها و کانی‌ها ارائه



شکل ۸. مدل سه بعدی سنگهای با تباين چگالی کمتر از ۱۵۰- کیلوگرم بر مترمکعب در منطقه زمین‌گرمایی تکاب با استفاده از الگوریتم لی و اولدنبرگ. (الف) دید از جنوب شرق، (ب) دید از جنوب، (ج) دید از شرق.

A1 دارای شرایط مناسب از نظر وجود مخزن زمین‌گرمایی در منطقه تکاب می‌باشد. با توجه به روند و شیب گسل اصلی منطقه، شکستگی‌ها و خردشگی ناشی از فعالیت این گسل در این زون شرایط تشکیل مخزن زمین‌گرمایی به وجود آمده است. بنابراین مناسب‌ترین محدوده جهت بهره‌برداری از انرژی زمین‌گرمایی در این منطقه، در مختصات افقی از $X_1=699200$ تا $X_2=702000$ و $Y_1=4059000$ تا $Y_2=4062200$ و در عمق بین ۳۰۰۰ تا ۵۰۰۰ متر از سطح زمین واقع شده است. نقشه‌های مشتقات میدان گرانی منطقه نیز نشان‌دهنده سازوکار گسلی پیچیده در منطقه به خصوص در بخش غربی گسل اصلی منطقه تکاب است. این گسل‌ها نقش مهمی در نفوذ آبهای جوی به درون زمین، حرکت سیال زمین‌گرمایی در مخزن و همچنین حرکت سیال مذکور به سمت سطح زمین و در نتیجه

نتیجه‌گیری

منطقه زمین‌گرمایی تکاب یکی از مناطق زمین‌گرمایی ایران است که در حال حاضر انجام مطالعات زمین‌شناسی و ژئوفیزیکی تکمیلی در آن در اولویت‌های سازمان انرژی‌های نو ایران قرار دارد. در این پژوهش نتایج حاصل از پردازش و تفسیر داده‌های گرانی برداشت شده در این منطقه زمین‌گرمایی ارائه شده است. هدف از این پژوهش، شناسایی ویژگی‌های ساختاری سامانه زمین‌گرمایی واقع در اعماق منطقه تکاب به منظور تعیین موقعیت حفر چاههای اکتشافی می‌باشد. با بررسی نقشه بی‌هنجاری‌های گرانی در منطقه یاد شده، مشخص گردید که دو زون دارای ناهنجاری گرانی منفی (A1 و A2) وجود دارد. نتایج تحلیل و تفسیر داده‌های گرانی با استفاده از روش اویلر و وارون‌سازی داده‌ها با استفاده از الگوریتم لی و اولدنبرگ، نشان می‌دهد که زون

gravity data: implications for its evolution and recent reactivation. Physics of the Earth and Planetary Interiors, 168, 212–230.

- Kalateh A.N., and Kahoo, A.R., 2013. Estimation of 3D density distribution of chromite deposits using gravity data. Journal of Mining and Environment, 4, 97–104.

- Keating, P. and Pilkington, M., 2004. Euler deconvolution of the analytic signal and its application to magnetic interpretation. Geophysical Prospecting, 52, 165–182.

- Li, Y. and Oldenburg, D.W., 1998a. 3D inversion of gravity data, Geophysics, 63, 109–119.

- Li, Y. and Oldenburg, D.W., 1998b. Separation of regional and residual magnetic field data. Geophysics, 63, 431–439.

- Louro, V.H. and Mantovani, M.S., 2012. 3D inversion and modeling of magnetic and gravimetric data characterizing the geophysical anomaly source in Pratinha I in the southeast of Brazil. Applied Geophysics, 80, 110–120.

- Montesinos, F.G., Camacho, A.G., Nunes, J.C., Oliveira, C.S. and Vieira, R., 2003. A 3-D gravity model for a volcanic crater in Terceira Island (Azores), Geophysical Journal International, 154, 393–406.

- Nabighian, M.N., 1972. The analytic signal of two-dimensional magnetic bodies with polygonal cross-section: Its properties and use for automated anomaly interpretation, Geophysics, 37, 507–517.

- Nabighian, M.N., 1984. Toward a three-dimensional automatic interpretation of potential field data via generalized Hilbert transforms: fundamental relations, Geophysics, 49, 780–786.

- Nouraliee, J., Porkhial, S., Ebrahimi, D. and Rahmani, M., 2014. Chemical studies on warm springs of West Azarbaijan province in the north west of Iran, Journal of Scientific Research

پیدایش چشمehای آبگرم ایفا می‌کنند. حضور چشمehای آبگرم در شرق روستای قینزجه با مختصات افقی مخزن زمین‌گرمایی شناسایی شده انتطبق زیادی دارد. این در حالی است که وجود چشمehای آبگرم در بخش شرقی روستای احمدآباد احتمالاً با گسل مهم شناسایی شده در نقشه مشتق میدان گرانی در جهت N30W قابل توجیه است. به عبارتی دیگر نتایج گرانی سنجی نشان می‌دهد که مخزن سامانه زمین‌گرمایی هر دو گروه از چشمehای آبگرم قینزجه و احمدآباد یکسان است و در مختصات مذکور (زون A1) قرار دارد.

سپاسگزاری

از ستد توسعه فناوری انرژی‌های تجدیدپذیر وابسته به معاونت علمی- فناوری ریاست جمهوری و گروه انرژی‌های نو پژوهشگاه نیرو برای در اختیار قرار گذاشتن داده‌های گرانی سپاسگزاری می‌گردد.

منابع

- نبوی، م. ح.، ۱۳۵۵. دیباچه‌ای بر زمین‌شناسی ایران. سازمان زمین‌شناسی کشور، ۱۰۹.
- Abiye, T.A. and Haile T., 2008. Geophysical exploration of the Boku geothermal area, Central Ethiopian Rift. Geothermics, 37, 586–596.
- Blakely, R.J., 1996. Potential Theory in Gravity and Magnetic Applications. Cambridge University Press. 464.
- Blakely, R.J. and Simpson, R.W., 1986. Approximating edges of source bodies from magnetic or gravity anomalies, Geophysics, 51, 1494–1498.
- Cooper, G.R.J. and Cowan, D.R., 2004. Filtering using variable order vertical derivatives. Computer and Geosciences, 30, 455–459.
- Gottsmann, J., Camacho, A., Martí, J., Wooller, L., Fernández, J., García, A. and Rymer, H., 2008. Shallow structure beneath the central volcanic complex of Tenerife from new

and Studies, 1, 65–72.

- Nouraliee, J., Porkhial, S., Mohammadzadeh-Moghaddam, M., Mirzaei, S., Ebrahimi, D. and Rahmani, M., 2015. Investigation on density contrasts and geological structures around hot springs in Mahallat geothermal region using gravity method, *Russian Geology and Geophysics*, 56, 1791–1800.
- Oldenburg, D.W. and Pratt, D.A. 2007. Geophysical inversion for mineral exploration – A decade of progress in theory and practice, in B. Milkereit, ed., *Proceedings of Exploration 07*, Fifth Decennial International Conference on Mineral Exploration, 61–95.
- Reid, A.B., 1995. Euler deconvolution: past, present and future – a review. 65th SEG Meeting, Houston, USA, Expanded Abstracts, 272–273.
- Represas, P., Santos, F.A. and Ribeiro, J., 2013. Interpretation of gravity data to delineate structural features connected to low-temperature geothermal resources at Northeastern Portugal, *Applied Geophysics*, 92, 30–38.
- Saad, A.H., 2006. Understanding gravity gradients—a tutorial. *The Leading Edge*, 25, 942–949.
- Salem, A., Furuya, S., Aboud, E., Elawadi, E., Jotaki, H. and Ushijima, K., 2005. Subsurface structural mapping using gravity data of Hohi geothermal area, Central Kyushu, Japan. *Proceedings World Geothermal Congress*, Antalya, Turkey.
- Schiavone, D. and Loddo, M., 2007. 3-D density model of Mt. Etna Volcano (Southern Italy), *Journal of Volcanology and Geothermal Research*, 164, 161–175.
- Soengkono, S., 2011. Deep interpretation of gravity and airborne magnetic data over the central Taupo volcanic zone. *New Zealand Geothermal Workshop*.
- Telford, W.M., Geldart, L.P., Sheriff, R.E. and Keys, D.A., 1990. *Applied Geophysics*, 2nd edition. Cambridge University Press. 501.
- Thompson, D.T., 1982. EULDEPTH – a technique for making computer-assisted depth estimates from magnetic data. *Geophysics*, 47, 31–37.